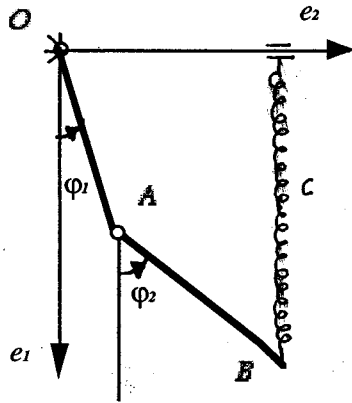


Compito di Meccanica Razionale

Trieste, 14 luglio 2009

(G. Tondo)



Si consideri il modello articolato di figura costituito dalle aste omogenee OA e AB di densità di massa ρ e, rispettivamente, di lunghezza l_1 , l_2 , incernierate in A e vincolate in O su un piano verticale (vincoli lisci e bilateri). Il sistema è soggetto alla forza elastica F applicata in B , sempre parallela all'asse e_1 , ed al peso proprio delle aste.

STATICA.

- 1) Determinare le configurazioni di equilibrio del modello e discuterne la stabilità in funzione dei parametri del modello;
- 2) calcolare le reazioni in O nelle configurazioni di equilibrio;
- 3) calcolare le reazioni in A nelle configurazioni di equilibrio.

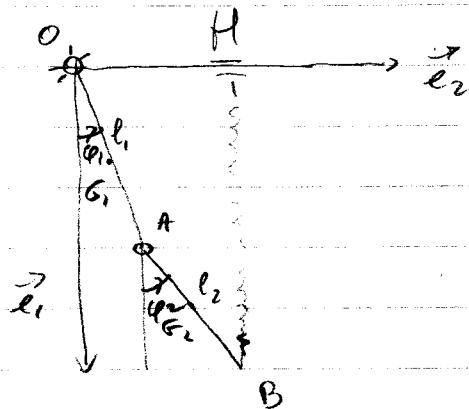
DINAMICA.

- 4) scrivere due equazioni differenziali pure di moto;
- 5) dire se l'energia meccanica è un integrale primo di moto e, in caso affermativo, determinarla in corrispondenza delle condizioni iniziali $\varphi_1 = \pi/2$, $\varphi_2 = \pi/2$, $\dot{\varphi}_1 = 0$, $\dot{\varphi}_2 = 0$;
- 6) calcolare le reazioni vincolari in O durante il moto in funzione delle coordinate libere e delle loro derivate rispetto al tempo.

Analisi cinematica

Il modello è il cosiddetto "lipadolo", cioè un modello artico lato costituito da 2 aste rigide incernierate e con una delle 2 aste vincolata a terra.

Con il metodo dei congelamenti successivi (2) o con il metodo del bilancino ($l = 3 \cdot 2 - (2 + 2) = 2$) si dimostra che il modello ha 2 gradi di libertà. Prendiamo come coordinate libere i 2 angoli di figura:



$$-\bar{u} < \varphi_1 \leq \bar{u} \quad \text{e} \quad -\bar{u} < \varphi_2 \leq \bar{u} \quad C_v = S^1 \times S^1 = T^2$$

Statica

Per determinare le configurazioni di equilibrio e poi discutere la stabilità, utilizziamo l'energia potenziale. Infatti, la sollecitazione attiva sul modello è conservativa, poiché è composta da forze conservative: il peso e la forza elastica in B.

$$(1.1) \quad V(\varphi_1, \varphi_2) = -m_1 \vec{g} \cdot \vec{x}_{G_1} - m_2 \vec{g} \cdot \vec{x}_{G_2} + \frac{1}{2} c \overline{BH}^2$$

$$(1.2) \quad \vec{x}_{G_1} = \frac{l_1}{2} (\cos \varphi_1 \vec{e}_1 + \sin \varphi_1 \vec{e}_2)$$

$$(1.3) \quad \vec{x}_{G_2} = \vec{x}_A + (\vec{x}_{G_2} - \vec{x}_A) = (l_1 \cos \varphi_1 + \frac{l_2}{2} \cos \varphi_2) \vec{e}_1 + (l_1 \sin \varphi_1 + \frac{l_2}{2} \sin \varphi_2) \vec{e}_2$$

$$\overline{BH}^2 = |\vec{x}_B - \vec{x}_H|^2 = (l_1 \cos \varphi_1 + l_2 \cos \varphi_2)^2$$

$$m_1 = \rho l_1, \quad m_2 = \rho l_2$$

Quindi

12

$$\begin{aligned} V(\varphi_1, \varphi_2) &= -\rho l_1 g \vec{e}_1 \cdot \vec{x}_{G_1} - \rho l_2 g \vec{e}_1 \cdot \vec{x}_{G_2} + \frac{1}{2} c (l_1 \cos \varphi_1 + l_2 \cos \varphi_2)^2 \\ (2.1) \quad &= -\rho l_1 g \frac{l_1}{2} \cos \varphi_1 - \rho l_2 g \left(l_1 \cos \varphi_1 + \frac{l_2}{2} \cos \varphi_2 \right) + \frac{1}{2} c (l_1 \cos \varphi_1 + l_2 \cos \varphi_2)^2 \\ &= -\rho g l_1 \left(\frac{l_1}{2} + l_2 \right) \cos \varphi_1 - \rho g \frac{l_2^2}{2} \cos \varphi_2 + \frac{1}{2} c (l_1 \cos \varphi_1 + l_2 \cos \varphi_2)^2 \end{aligned}$$

Cerchiamo ora i punti stazionari della funzione $V(\varphi_1, \varphi_2)$:

$$\begin{aligned} \frac{\partial V}{\partial \varphi_1} &= \rho g l_1 \left(\frac{l_1}{2} + l_2 \right) \sin \varphi_1 + c (l_1 \cos \varphi_1 + l_2 \cos \varphi_2) (-l_1 \sin \varphi_1) = -Q_{\varphi_1} \\ (2.2) \quad \frac{\partial V}{\partial \varphi_2} &= \rho g \frac{l_2^2}{2} \sin \varphi_2 + c (l_1 \cos \varphi_1 + l_2 \cos \varphi_2) (-l_2 \sin \varphi_2) = -Q_{\varphi_2} \end{aligned}$$

Dunque, le eq. pure di equilibrio sono:

$$(2.3) \quad \begin{cases} \sin \varphi_1 \left[\rho g l_1 \left(\frac{l_1}{2} + l_2 \right) - c l_1 (l_1 \cos \varphi_1 + l_2 \cos \varphi_2) \right] = 0 \\ \sin \varphi_2 \left[\rho g \frac{l_2^2}{2} - c l_2 (l_1 \cos \varphi_1 + l_2 \cos \varphi_2) \right] = 0 \end{cases}$$

Il sistema (2.3) equivale ai seguenti 4 sistemi:

$$(2.4) \quad \begin{cases} \sin \varphi_1 = 0 \\ \sin \varphi_2 = 0 \end{cases} \quad (2.5) \quad \begin{cases} \sin \varphi_1 = 0 \\ l_1 \cos \varphi_1 + l_2 \cos \varphi_2 = \frac{\rho g l_2}{2c} \end{cases}$$

$$(2.6) \quad \begin{cases} l_1 \cos \varphi_1 + l_2 \cos \varphi_2 = \frac{\rho g}{c} \left(\frac{l_1}{2} + l_2 \right) \\ \sin \varphi_2 = 0 \end{cases} \quad (2.7) \quad \begin{cases} l_1 \cos \varphi_1 + l_2 \cos \varphi_2 = \frac{\rho g}{c} \left(\frac{l_1}{2} + l_2 \right) \\ l_1 \cos \varphi_1 + l_2 \cos \varphi_2 = \frac{\rho g l_2}{2c} \end{cases}$$

Il sistema (2.4) ha 4 soluzioni:

$$(3.1) \quad \vec{q}_e^{(1)} = (0, 0) ; \vec{q}_e^{(2)} = (0, \bar{u}) ; \vec{q}_e^{(3)} = (\bar{u}, 0) ; \vec{q}_e^{(4)} = (\bar{u}, \bar{u})$$

Il sistema (2.7), che è un sistema lineare e non omogeneo nelle incognite $(\cos \varphi_1, \cos \varphi_2)$ ha i lati sinistri delle 2 equazioni uguali. Quindi, ammette (se) soluzioni se e solo se sono uguali i termini noti, cioè se e solo se vale la condizione

$$(3.2) \quad l_1 + l_2 = 0$$

che è, ovviamente, falsa. Quindi, il sistema (2.7) non ammette soluzioni. Restano da risolvere i sistemi (2.5) e (2.6).

Sistema (2.5)

$$\begin{cases} \sin \varphi_1 = 0 \\ l_1 \cos \varphi_1 + l_2 \cos \varphi_2 = \frac{p q l_2}{2c} \end{cases} \Leftrightarrow \begin{cases} \varphi_1 = 0 \\ \cos \varphi_2 = \frac{p q}{2c} - \frac{l_1}{l_2} = \mu_1 \end{cases} \quad (3.3)$$

$$\begin{cases} \varphi_1 = \bar{u} \\ \cos \varphi_2 = \frac{p q}{2c} + \frac{l_1}{l_2} = \mu_2 \end{cases} \quad (3.4)$$

Le II eq. del sistema (3.3) ha soluzioni φ_2 talché:

se $\mu_1 = \frac{p q}{2c} - \frac{l_1}{l_2} > 1$ Nessuna soluzione

se $\mu_1 = 1 \quad \varphi_2^{(0)} = 0$

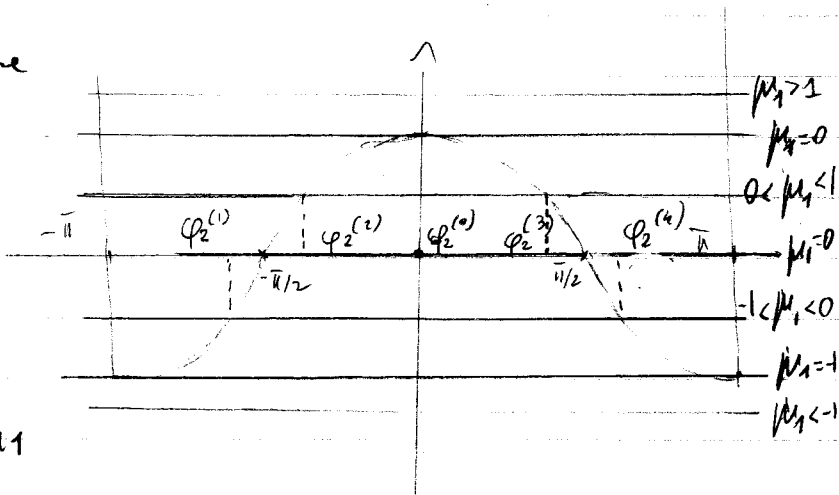
se $0 < \mu_1 < 1 \quad 2 \text{ sol. } \begin{cases} \varphi_2^{(2)} = -\varphi_2^{(3)} \\ \varphi_2^{(2)} = \arccos \mu_1 \end{cases}$

se $\mu_1 = 0 \quad 2 \text{ sol. } \varphi_2 = \pm \frac{\bar{u}}{2}$

se $-1 < \mu_1 < 0 \quad 2 \text{ sol. } \begin{cases} \varphi_2^{(4)} = -\varphi_2^{(1)} \\ \varphi_2^{(4)} = \arccos \mu_1 \end{cases}$

se $\mu_1 = -1 \quad 1 \text{ sol. } \varphi_2 = \bar{u}$

se $\mu_1 < -1 \quad \text{Nessuna soluzione}$

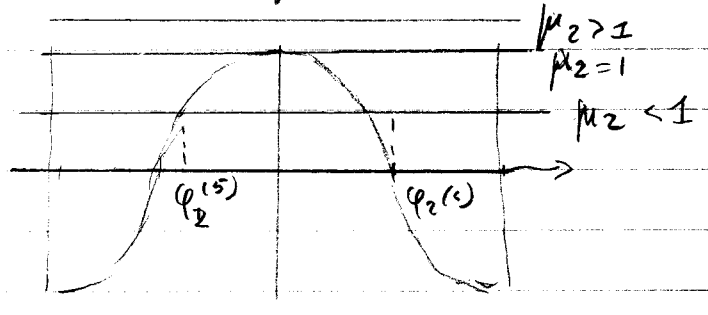


Quindi, il sistema (3.3) determina le seguenti conf. di equilibrio nuove

$\text{se } 0 < \mu_1 < 1 \quad \vec{q}_e^{(5)} = (0, \varphi_2^{(2)}) , \quad \vec{q}_e^{(6)} = (0, \varphi_2^{(3)})$
 $\text{se } \mu_1 = 0 \quad \vec{q}_e^{(7)} = (0, -\frac{\pi}{2}) , \quad \vec{q}_e^{(8)} = (0, \varphi_2^{(4)})$
 $\text{se } -1 < \mu_1 < 0 \quad \vec{q}_e^{(7)} = (0, \varphi_2^{(1)}) , \quad \vec{q}_e^{(8)} = (0, \varphi_2^{(4)})$

Studiamo, ora, il sistema (3.4). La sua II equazione ha soluzioni:

$\text{se } \mu_2 := \frac{p_2}{2c} + \frac{l_1}{l_2} > 1 \quad \text{Nessuna sol}$
 $\text{se } \mu_2 = 1 \quad \varphi_2 = 0$
 $\text{se } \mu_2 < 1 \quad \text{2 sol.} \quad \begin{cases} \varphi_2^{(5)} = -\varphi_2^{(6)} \\ \varphi_2^{(6)} = \arccos \mu_2 \end{cases}$



Dunque, il sistema (3.4) determina le seguenti nuove configurazioni di eq.

(4.1) $\text{se } \mu_2 < 1 \quad \vec{q}_e^{(9)} = (\bar{\mu}, \varphi_2^{(5)}) , \quad \vec{q}_e^{(10)} = (\bar{\mu}, \varphi_2^{(6)})$

Consideriamo, ora, il sistema (2.6).

Sistema (2.6)

$$\begin{cases} l_1 \cos \varphi_1 + l_2 \cos \varphi_2 = \frac{p_2}{c} \left(\frac{l_1}{2} + l_2 \right) \\ \sin \varphi_2 = 0 \end{cases} \Leftrightarrow \begin{cases} \varphi_2 = 0 \\ \cos \varphi_1 = \frac{p_2}{c} \left(\frac{1}{2} + \frac{l_2}{l_1} \right) - \frac{l_2}{l_1} \end{cases} \quad (4.2)$$

$$\begin{cases} \varphi_2 = \bar{\mu} \\ \cos \varphi_1 = \frac{p_2}{c} \left(\frac{1}{2} + \frac{l_2}{l_1} \right) + \frac{l_2}{l_1} \end{cases} \quad (4.3)$$

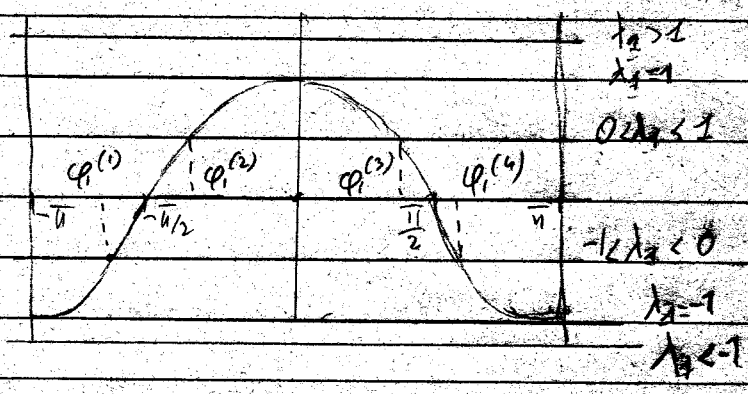
Studiamo il sistema (4.2).

La II eq. del sistema (4.2) ha soluzioni φ_1 tali che:

se $\lambda_1 := \frac{p g}{c} \left(\frac{1 + l_2}{2 l_1} \right) - \frac{l_2}{l_1} > 1$ Ness. sol.

se $\lambda_1 = 1$ $\varphi_1^{(0)} = 0$

se $0 < \lambda_1 < 1$ / $\varphi_1^{(2)} = -\varphi_1^{(3)}$
 $\varphi_1^{(3)} = \arccos \lambda_1$



se $\lambda_1 = 0$ $\varphi_1 = \pm \frac{\pi}{2}$

se $-1 < \lambda_1 < 0$ / $\varphi_1^{(4)} = -\varphi_1^{(1)}$
 $\varphi_1^{(1)} = \arccos \lambda_1$

se $\lambda_1 < -1$ Nessuna soluzione

Quindi, il sistema (4.2) determina le config. di equil. nuove

se $0 < \lambda_1 < 1$ $\vec{q}_e^{(11)} = (\varphi_1^{(2)}, 0)$; $\vec{q}_e^{(12)} = (\varphi_1^{(3)}, 0)$

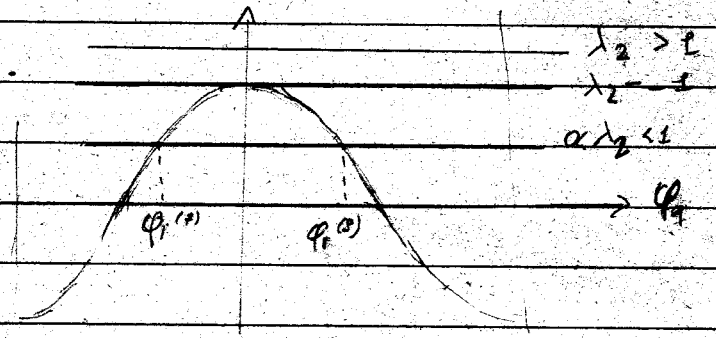
se $-1 < \lambda_1 < 0$ $\vec{q}_e^{(13)} = (\varphi_1^{(1)}, 0)$; $\vec{q}_e^{(14)} = (\varphi_1^{(4)}, 0)$

Studiamo il sistema (4.3). La sua II eq. ha soluzioni φ_1 tali che:

se $\lambda_2 := \frac{p g}{c} \left(\frac{1 + l_2}{2 l_1} \right) + \frac{l_2}{l_1} > 1$ Nessuna sol.

se $\lambda_2 = 1$ $\varphi_1^{(0)} = 0$

se $0 < \lambda_2 < 1$ 2 sol. / $\varphi_1^{(7)} = -\varphi_1^{(8)}$
 $\varphi_1^{(8)} = \arccos \lambda_2$



Quindi, il sistema (4.3) aggiunge le seguenti configurazioni di equilibrio:

se $0 < \lambda_2 < 1$ $\vec{q}_e^{(15)} = (\varphi_1^{(7)}, \pi)$; $\vec{q}_e^{(16)} = (\varphi_1^{(8)}, \pi)$

Ricapitolando, le configurazioni di equilibrio sono:

(6.1) $\vec{q}_e^{(1)} = (0, 0)$; $\vec{q}_e^{(2)} = (0, \bar{u})$; $\vec{q}_e^{(3)} = (\bar{u}, 0)$; $\vec{q}_e^{(4)} = (\bar{u}, \bar{u})$

per ogni valore dei parametri. Inoltre, ci sono

$\vec{q}_e^{(5)} = (0, \varphi_2^{(1)})$; $\vec{q}_e^{(6)} = (0, \varphi_2^{(2)})$ se $0 \leq \mu_1 < 1$

$\vec{q}_e^{(7)} = (0, \varphi_2^{(3)})$; $\vec{q}_e^{(8)} = (0, \varphi_2^{(4)})$ se $-1 < \mu_1 \leq 0$

(6.2) $\vec{q}_e^{(9)} = (\bar{u}, \varphi_2^{(5)})$; $\vec{q}_e^{(10)} = (\bar{u}, \varphi_2^{(6)})$ se $\mu_2 \leq 1$

$\vec{q}_e^{(11)} = (\varphi_1^{(1)}, 0)$; $\vec{q}_e^{(12)} = (\varphi_1^{(2)}, 0)$ se $0 \leq \lambda_1 < 1$

$\vec{q}_e^{(13)} = (\varphi_1^{(3)}, 0)$; $\vec{q}_e^{(14)} = (\varphi_1^{(4)}, 0)$ se $-1 < \lambda_1 \leq 0$

$\vec{q}_e^{(15)} = (\varphi_1^{(5)}, \bar{u})$; $\vec{q}_e^{(16)} = (\varphi_1^{(6)}, \bar{u})$ se $\lambda_2 \leq 1$

Si osserva che le coppie $(\vec{q}_e^{(7)}, \vec{q}_e^{(8)})$; $(\vec{q}_e^{(9)}, \vec{q}_e^{(10)})$; $(\vec{q}_e^{(11)}, \vec{q}_e^{(12)})$;

$(\vec{q}_e^{(13)}, \vec{q}_e^{(14)})$, $(\vec{q}_e^{(15)}, \vec{q}_e^{(16)})$ individuano configurazioni di equilibrio simmetriche rispetto all'asse verticale.

Per tale motivo, da ora in poi ci limiteremo a studiare le configurazioni:

(6.3) $\vec{q}_e^{(1)}$; $\vec{q}_e^{(2)}$; $\vec{q}_e^{(3)}$; $\vec{q}_e^{(4)}$; $\vec{q}_e^{(5)}$; $\vec{q}_e^{(6)}$; $\vec{q}_e^{(9)}$; $\vec{q}_e^{(10)}$; $\vec{q}_e^{(11)}$; $\vec{q}_e^{(12)}$; $\vec{q}_e^{(13)}$; $\vec{q}_e^{(14)}$; $\vec{q}_e^{(15)}$; $\vec{q}_e^{(16)}$

restando inteso che le configurazioni di equilibrio simmetriche rispetto all'asse verticale hanno le stesse proprietà di stabilità e le stesse regioni vincolari.

Stabilità

Determiniamo la matrice Hessiana dell'energia potenziale $V(\theta, \varphi)$. A tal scopo, derivando (2.2) si ottiene:

$$\frac{\partial^2 V}{\partial \varphi_1^2} = \rho g l_1 \left(\frac{l_1 + l_2}{2} \right) \cos \varphi_1 + c l_1 \left(l_1 \cos 2\varphi_1 - l_2 \cos \varphi_1 \cos \varphi_2 \right)$$

$$\frac{\partial^2 V}{\partial \varphi_1 \partial \varphi_2} = +c l_1 l_2 \sin \varphi_1 \sin \varphi_2$$

$$\frac{\partial^2 V}{\partial \varphi_2^2} = \rho g \frac{l_2^2}{2} \cos \varphi_2 + c l_2 \left(l_1 \cos \varphi_1 \cos \varphi_2 - l_2 \cos^2 \varphi_2 \right)$$

Quindi la matrice Hessiana in una generica configurazione è data da

$$H = \begin{bmatrix} \rho g l_1^2 \left(\frac{1}{2} + \frac{l_2}{l_1} \right) \cos \varphi_1 - c l_1 \left(l_1 \cos 2\varphi_1 + l_2 \cos \varphi_1 \cos \varphi_2 \right) & c l_1 l_2 \sin \varphi_1 \sin \varphi_2 \\ c l_1 l_2 \sin \varphi_1 \sin \varphi_2 & \rho g \frac{l_2^2}{2} \cos \varphi_2 + c l_2 \left(l_1 \cos \varphi_1 \cos \varphi_2 - l_2 \cos^2 \varphi_2 \right) \end{bmatrix}$$

Valutiamo la matrice Hessiana nelle configurazioni di eq. (6.3)

$$H_{\vec{q}_e^{(1)}} = \begin{bmatrix} pgl_1^2 \left(\frac{1+l_2}{2l_1} \right) - cl_1(l_1+l_2) & 0 \\ 0 & pgl_2^2 - cl_2(l_1+l_2) \end{bmatrix}$$

$$\left(H_{\vec{q}_e^{(1)}} \right)_{11} = cl_1 \left(\frac{pg}{c} \left(\frac{1+l_2}{2l_1} \right) - \frac{l_2-1}{l_1} \right) = cl_1^2 (\lambda_1 - 1)$$

$$\det \left(H_{\vec{q}_e^{(1)}} \right) = cl_1^2 (\lambda_1 - 1) cl_2^2 \left[\left(\frac{pg}{2c} \frac{l_1}{l_2} \right) - 1 \right] = c^2 l_1^2 l_2^2 (\lambda_1 - 1) (\mu_1 - 1)$$

Allora, la configurazione $\vec{q}_e^{(1)}$ è stabile se

$$\lambda_1 > 1 \quad \text{et} \quad \mu_1 > 1 ;$$

instabile negli altri casi con $\lambda_1 \neq 1$ e $\mu_1 \neq 1$. Per $\lambda_1 = 1$ o $\mu_1 = 1$, bisogna considerare i differenziali di ordine superiore.

$$\mathcal{H}_{\vec{q}_e^{(2)} = (0, \bar{u})} = \begin{bmatrix} \rho g l_1^2 \left(\frac{1+l_2}{2} \frac{1}{l_1} \right) - c l_1 (l_1 - l_2) & 0 \\ 0 & -\rho g \frac{l_2^2}{2} - c l_2 (l_2 - l_1) \end{bmatrix} \quad 13$$

$$\left(\mathcal{H}_{\vec{q}_e^{(2)}} \right)_{11} = c l_1^2 \left[\frac{\rho g}{c} \left(\frac{1+l_2}{2} \frac{1}{l_1} \right) + \frac{l_2 - 1}{l_1} \right] = c l_1^2 (\lambda_2 - 1)$$

$$\det(\mathcal{H}_{\vec{q}_e^{(2)}}) = c l_1^2 (\lambda_2 - 1) c l_2^2 \left[\left(\frac{\rho g}{2c} + \frac{l_1}{l_2} \right) - 1 \right] = c^2 l_1^2 l_2^2 (\lambda_2 - 1) (-\mu_1 - 1)$$

Dunque, la configurazione $\vec{q}_e^{(2)} = (0, \bar{u})$ è di eq. stabile se

$$\lambda_2 > 1 \quad \text{et} \quad \mu_1 < -1;$$

instabile negli altri casi con $\lambda_2 \neq 1$ vel $\mu_1 \neq -1$.

$$H_{\vec{q}_e^{(3)}} = \begin{bmatrix} -\rho g l_1^2 \left(\frac{1}{2} + \frac{l_2}{l_1} \right) - c l_1 (l_1 - l_2) & 0 \\ 0 & \rho g \frac{l_2^2}{2} - c l_2 (l_2 - l_1) \end{bmatrix}$$

$$\left(H_{\vec{q}_e^{(3)}} \right)_{11} = -c l_1^2 \left[\frac{\rho g}{c} \left(\frac{1}{2} + \frac{l_2}{l_1} \right) + \frac{l_2}{l_1} - 1 \right] = c l_1^2 (-\lambda_1 - 1)$$

$$\det H_{\vec{q}_e^{(3)}} = -c l_1^2 (\lambda_1 + 1) c l_2^2 \left[\frac{\rho g}{2c} + \frac{l_1}{l_2} - 1 \right] = -c l_1^2 l_2^2 (\lambda_1 + 1) (\mu_2 - 1)$$

Quindi, la configurazione $\vec{q}_e^{(3)} = (u, 0)$ è di eq. stabile se

$$(10.1) \quad \lambda_1 < -1 \quad \text{et} \quad \mu_2 > 1;$$

instabile negli altri casi in cui $\lambda_1 \neq -1$ vel $\mu_2 \neq 1$.

N.B. Osserviamo che i parametri $\lambda_1, \lambda_2, \mu_1, \mu_2$ non possono assumere qualunque valore $\in \mathbb{R}$ poiché sono dipendenti tra loro. Infatti, si possono esprimere in termini di altri 2 parametri, strettamente positivi e indipendenti (di notevole significato fisico), dati da:

$$(10.2) \quad a = \frac{\rho g}{2c}, \quad b = \frac{l_2}{l_1}$$

Allora

$$(10.3) \quad \lambda_1 = a(1+2b) - b; \quad \lambda_2 = a(1+2b) + b; \quad \mu_1 = a - \frac{1}{b}; \quad \mu_2 = a + \frac{1}{b}$$

ciò comporta, ad esempio, che il sistema di equazioni (10.1) non ammette soluzioni se $a, b \in \mathbb{R}^+$. In definitiva, $\vec{q}_e^{(3)}$ è sempre instabile ($\lambda_1 \neq -1, \mu_2 \neq 1$)

$$\mathcal{H}_{\vec{q}_e^{(u)}} = \begin{bmatrix} -\rho g l_1^2 \left(\frac{1}{2} + \frac{l_2}{l_1} \right) - c l_1 (l_1 - l_2) & 0 \\ 0 & -\rho g \frac{l_2^2}{2} - c l_2 (l_2 - l_1) \end{bmatrix} \quad (11)$$

$$\left(\mathcal{H}_{\vec{q}_e^{(u)}} \right)_{11} = c l_1^2 \left[-\frac{\rho g}{c} \left(\frac{1}{2} + \frac{l_2}{l_1} \right) + \frac{l_2 - l_1}{l_1} \right] = c l_1^2 (-\lambda_1 - 1)$$

$$\det \left(\mathcal{H}_{\vec{q}_e^{(u)}} \right) = c l_1^2 (-\lambda_1 - 1) c l_2^2 \left[\left(\frac{-\rho g}{2c} + \frac{l_1}{l_2} \right) - 1 \right] = c l_1^2 (-\lambda_1 - 1) (-\mu_1 - 1)$$

Allora, la configurazione $\vec{q}_e^{(u)} = (\bar{u}, \bar{u})$ è stabile se

$$(11.1) \quad \lambda_1 < -1 \quad \text{et} \quad \mu_1 < -1;$$

instabile negli altri casi in cui $\lambda_1 \neq -1$ vel $\mu_1 \neq -1$

N.B. Anche in questo caso, il sistema (11.1)

$$\begin{cases} \lambda_1 < -1 \\ \mu_1 < -1 \end{cases} \Leftrightarrow \begin{cases} a(1+2b) - b < -1 \\ a - \frac{1}{b} < -1 \end{cases} \quad (11.2)$$

non ammette soluzioni per $(a, b) \in \mathbb{R}^+ \times \mathbb{R}^+$, come si evince da uno studio grafico di (11.2).

Dunque, la configurazione $\vec{q}_e^{(u)}$ è sempre instabile ($\lambda_1 \neq -1$ et $\mu_1 \neq -1$).

Se $0 < \mu_1 < 1$

$$\mathcal{H}_{\vec{q}_e^{(3)}} = \begin{bmatrix} pgl_1^2 \left(\frac{1+l_2}{2l_1} \right) - cl_1(l_1+l_2\mu_1) & 0 \\ 0 & \frac{pgl_2^2 \mu_1 - cl_2(l_2(2\mu_1^2-1)+l_1\mu_1)}{2} \end{bmatrix} \quad (12.1)$$

dove abbiamo usato il fatto che

$$\cos \varphi_2^{(3)} = \mu_1, \quad \cos 2\varphi_2^{(3)} = 2\mu_1^2 - 1$$

Allora

$$\begin{aligned} \left(\mathcal{H}_{\vec{q}_e^{(3)}} \right)_{11} &= cl_1^2 \left[\frac{pg}{2c} \left(\frac{1+2l_2}{l_1} \right) - 1 - \frac{l_2}{l_1} \mu_1 \right] \stackrel{(12.1)}{=} cl_1^2 \left[a(1+2b) - 1 - b \left(\frac{a-1}{b} \right) \right] \\ &= cl_1^2 \left[a + 2ab - 1 - ab + 1 \right] = cl_1^2 a(1+b) > 0 \end{aligned}$$

poiché $a, b \in \mathbb{R}^+$.

Inoltre,

$$\begin{aligned} \det \mathcal{H}_{\vec{q}_e^{(3)}} &= \mathcal{H}_{11} \left[\frac{pgl_2^2 \mu_1}{2} - cl_2(2l_2\mu_1^2 - l_2 + l_1\mu_1) \right] = \\ &= \mathcal{H}_{11} cl_2^2 \left[\frac{pg}{2c} \mu_1 - (2\mu_1^2 - 1 + \frac{l_1}{l_2} \mu_1) \right] = \\ &= cl_2^2 \mathcal{H}_{11} \left[\mu_1 \left(\frac{pg}{2c} - \frac{l_1}{l_2} \right) - 2\mu_1^2 + 1 \right] = \\ &= cl_2^2 \mathcal{H}_{11} \left[\mu_1^2 - 2\mu_1^2 + 1 \right] = cl_2^2 \mathcal{H}_{11} (1 - \mu_1^2) \end{aligned}$$

Allora, poiché $0 < \mu_1 < 1$ segue che $\det \mathcal{H}_{\vec{q}_e^{(3)}} > 0$ quindi

$\vec{q}_e^{(3)}$ è stabile

La configurazione $\vec{q}_e^{(5)}$ che è iniettiva r.s. e $\vec{q}_e^{(6)}$ è (13)
 anch'essa stabile se $0 < \mu_1 < 1$.

Nella configurazione $\vec{q}_e^{(8)}$ (e nella non iniettiva $\vec{q}_e^{(7)}$) la
 matrice Hessiana ha la stessa forma della (12.1).

Quindi,

$$\left(\mathcal{H}_{\vec{q}_e^{(8)}} \right)_{11} = c l_1^2 a (1+b) > 0 \quad e$$

$$\det \mathcal{H}_{\vec{q}_e^{(8)}} = c l_2^2 \mathcal{H}_{11} (1 - \mu_1^2)$$

Quindi, poiché $-1 < \mu_1 < 0$ segue che $\det \mathcal{H}_{\vec{q}_e^{(8)}} > 0$, dunque
 $\vec{q}_e^{(8)}$ è stabile.

Valutiamo ora \mathcal{H} nella configurazione $\vec{q}_e^{(10)}$ (e nella iniettiva $\vec{q}_e^{(9)}$)
 che si ha se $\mu_2 < 1$.

$$\mathcal{H}_{\vec{q}_e^{(10)}} = \begin{array}{c|c} \left(\begin{array}{c} -\frac{1}{2} g l_1^2 \left(\frac{1}{2} + \frac{l_2}{l_1} \right) - c l_1 (l_1 - l_2 \mu_2) \\ 0 \end{array} \right) & \begin{array}{c} 0 \\ \frac{1}{2} g l_2^2 \mu_2 + \\ -c l_2 (l_2 (2\mu_2^2 - 1) - l_1 \mu_2) \end{array} \end{array}$$

$$\left(\mathcal{H}_{\vec{q}_e^{(10)}} \right)_{11} = c l_1^2 \left[-\frac{1}{2} g \left(\frac{1+2l_2}{l_1} \right) - 1 + \frac{l_2}{l_1} \mu_2 \right] =$$

$$\stackrel{(10.2)}{=} \stackrel{(10.3)}{=} c l_1^2 \left[-a(1+2b) - 1 + b \left(\frac{a+y}{b} \right) \right] =$$

$$= -c l_1^2 a (1+b) < 0 \Rightarrow \text{instabile}$$

Se $0 < \lambda_1 < 1$, valutiamo \mathcal{H} in $\vec{q}_e^{(12)} = \vec{q}_e^{(11)}$. (14)

$$\mathcal{H}_{\vec{q}_e^{(12)} = (\varphi_1^{(3)}, 0)} = \begin{bmatrix} pgl_1^2 \left(\frac{1+l_2}{2+l_1} \right) \lambda_1 - cl_1 (l_1 (2\lambda_1^2 - 1) + l_2 \lambda_1) & 0 \\ 0 & pgl_2^2 + cl_2^2 (l_2 + l_1 \lambda_1) \end{bmatrix}$$

(16a)

$$\begin{aligned} \left(\mathcal{H}_{\vec{q}_e^{(12)}} \right)_{11} &= cl_1^2 \left[\frac{pg}{2c} \left(\frac{1+l_2}{l_1} \right) \lambda_1 - 2\lambda_1^2 + 1 - \frac{l_2}{l_1} \lambda_1 \right] \\ &= cl_1^2 \left[\lambda_1 \left(\frac{pg}{2c} \left(\frac{1+l_2}{l_1} \right) - \frac{l_2}{l_1} \right) + 1 - 2\lambda_1^2 \right] \\ &= cl_1^2 \left[\lambda_1^2 + 1 - 2\lambda_1^2 \right] = cl_1^2 (1 - \lambda_1^2) \end{aligned}$$

Allora, poiché $0 < \lambda_1 < 1$ segue che $\left(\mathcal{H}_{\vec{q}_e^{(12)}} \right)_{11} > 0$.

Inoltre,

$$\begin{aligned} \det \left(\mathcal{H}_{\vec{q}_e^{(12)}} \right) &= \mathcal{H}_{11} cl_2^2 \left(\frac{pg}{2c} - 1 - \frac{l_1}{l_2} \lambda_1 \right) = \\ &= \mathcal{H}_{11} cl_2^2 \left(a - 1 - \frac{1}{b} [a(1+2b) - b] \right) \\ &= cl_2^2 \mathcal{H}_{11} \left(a - 1 - \frac{a}{b} (1+2b) + 1 \right) \\ &= cl_2^2 \mathcal{H}_{11} \left(a - \frac{a}{b} - 2a \right) = cl_2^2 \mathcal{H}_{11} a \left(-1 - \frac{1}{b} \right) < 0 \end{aligned}$$

poiché a e $b \in \mathbb{R}^+$.

Quindi, $\vec{q}_e^{(12)}$ è un punto di sella, quindi instabile.

Nella configurazione $\vec{q}_e^{(14)}$ (e $\vec{q}_e^{(13)}$) la matrice \mathcal{H} ha la stessa forma delle (14.1). Quindi,

$$\left(\mathcal{H} \Big|_{\vec{q}_e^{(14)}} \right)_{11} = c l_1^2 (1 - \lambda_1^2)$$

Allora, poiché in $\vec{q}_e^{(14)}$ $-1 < \lambda_1 < 0$ segue che $\left(\mathcal{H} \Big|_{\vec{q}_e^{(14)}} \right)_{11} > 0$. Analogamente,

$$\det \mathcal{H} \Big|_{\vec{q}_e^{(14)}} = -c l_2^2 a \left(1 + \frac{1}{b} \right) < 0$$

Dunque, anche $\vec{q}_e^{(14)}$ (e $\vec{q}_e^{(13)}$) è instabile.

Infine, se $\lambda_2 < 1$, valutiamo \mathcal{H} in $\vec{q}_e^{(16)}$ ($\vec{q}_e^{(15)}$).

$$\mathcal{H} \Big|_{\vec{q}_e^{(16)} = \begin{pmatrix} \varphi_1 \\ \varphi_2 \end{pmatrix}} = \begin{bmatrix} p g l_1^2 \left(\frac{1 + \lambda_2}{2} \frac{l_2}{l_1} \right) \lambda_2 - c l_1 \left(l_1 (2 \lambda_2^2 - 1) - l_2 \lambda_2 \right) & 0 \\ 0 & -p g \frac{l_2^2}{2} + c l_2 (l_2 l_1 \lambda_2) \end{bmatrix}$$

$$\begin{aligned} \left(\mathcal{H} \Big|_{\vec{q}_e^{(16)}} \right)_{11} &= c l_1^2 \left[\frac{p g}{2c} \left(1 + 2 \frac{l_2}{l_1} \right) \lambda_2 - (2 \lambda_2^2 - 1) + \frac{l_2}{l_1} \lambda_2 \right] = \\ &= c l_1^2 \left[\lambda_2 \left[\frac{p g}{2c} \left(1 + 2 \frac{l_2}{l_1} \right) + \frac{l_2}{l_1} \right] - 2 \lambda_2^2 - 1 \right] = \\ &= c l_1^2 (\lambda_2^2 - 2 \lambda_2^2 - 1) = c l_1^2 (1 + \lambda_2^2) < 0 \end{aligned}$$

poiché $\lambda_2 \in \mathbb{R}^+$. Quindi

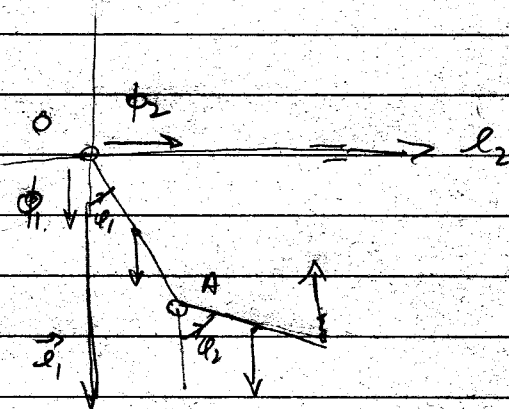
$\vec{q}_e^{(16)}$ e $\vec{q}_e^{(15)}$ sono instabili.

2) Reazioni vincolari in O

La I ECS applicata a tutto il modello fornisce

$$\vec{B} \cdot \vec{e}_1: \phi_1 + \rho g(l_1 + l_2) - c(l_1 \cos \phi_1 + l_2 \cos \phi_2) = 0$$

$$\vec{H} \cdot \vec{e}_2: \phi_2 = 0$$



Quindi, le reazioni vincolari in O all'equilibrio sono:

$$\phi_1 = -\rho g(l_1 + l_2) + c(l_1 \cos \phi_1^{(e)} + l_2 \cos \phi_2^{(e)}), \quad \phi_2 = 0$$

Valutiamole nelle configurazioni di equilibrio (6.2) ritrate:

$$\phi_1|_{\vec{q}_e^{(1)}} = -\rho g(l_1 + l_2) + c(l_1 + l_2); \quad \phi_1|_{\vec{q}_e^{(3)}} = -\rho g(l_1 + l_2) + c(-l_1 + l_2)$$

$$\phi_1|_{\vec{q}_e^{(2)}} = -\rho g(l_1 + l_2) + c(l_1 - l_2), \quad \phi_1|_{\vec{q}_e^{(4)}} = -\rho g(l_1 + l_2) - c(l_1 + l_2) < 0$$

$$\phi_1|_{\vec{q}_e^{(5)}} = -\rho g(l_1 + l_2) + c(l_1 + l_2 \mu_1) = \phi_1|_{\vec{q}_e^{(6)}} = \phi_1|_{\vec{q}_e^{(7)}} = \phi_1|_{\vec{q}_e^{(8)}}$$

$$\phi_1|_{\vec{q}_e^{(9)}} = -\rho g(l_1 + l_2) + c(-l_1 + l_2 \mu_2) = \phi_1|_{\vec{q}_e^{(10)}}$$

$$\phi_1|_{\vec{q}_e^{(11)}} = -\rho g(l_1 + l_2) + c(l_1 \lambda_1 + l_2) = \phi_1|_{\vec{q}_e^{(12)}} = \phi_1|_{\vec{q}_e^{(13)}} = \phi_1|_{\vec{q}_e^{(14)}}$$

$$\phi_1|_{\vec{q}_e^{(15)}} = -\rho g(l_1 + l_2) + c(l_1 \lambda_2 - l_2) = \phi_1|_{\vec{q}_e^{(16)}}$$

e, ovviamente,

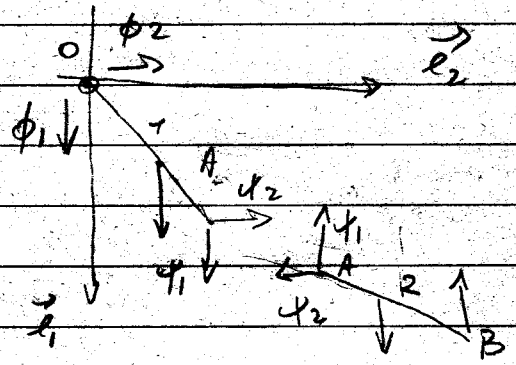
$$\phi_2 = 0 \quad \text{in tutte le configurazioni di equilibrio.}$$

3) Reazioni vincolari in A

Utilizziamo la I ECS applicata alla sola asta 1

$$\vec{B} \cdot \vec{e}_1: \phi_1 + pgl_1 + \psi_1 = 0$$

$$\vec{B} \cdot \vec{e}_2: \phi_2 + \psi_2 = 0$$



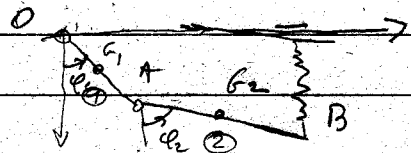
Quindi

$$(17.1) \quad \psi_1 / q_e = -pgl_1 - \phi_1 / q_e, \quad \psi_2 / q_e = -\phi_2 / q_e = 0$$

Perciò, sostituendo nella (17.1) i valori $\phi_{1/2}$ calcolati alla pagina precedente, si ottiene il risultato cercato

i	$\vec{q}_2^{(i)} = (\varphi_1, \varphi_2)$	Configurazioni	Esistenza	Stabilità	Reaz. in O: $\varphi_2 = 0$	Reaz. in A: $\varphi_2 = 0$
1	$(0, 0)$		sempre	$\begin{cases} \lambda_1 > 1 \\ \mu_1 > 1 \end{cases}$	$\phi_1 = -\rho g(l_1 + l_2) + c(l_1 + l_2)$	$\psi_1 = -\rho g l_1 - \phi_1$
2	$(0, \pi)$		"	$\begin{cases} \lambda_2 > 1 \\ \mu_1 < -1 \end{cases}$	$\phi_1 = -\rho g(l_1 + l_2) + c(l_1 - l_2)$	$\psi_1 = "$
3	$(\pi, 0)$		"	no	$\phi_1 = -\rho g(l_1 + l_2) + c(-l_1 + l_2)$	$\psi_1 = "$
4	(π, π)		"	no	$\phi_2 = -\rho g(l_1 + l_2) - c(l_1 + l_2)$	$\psi_1 = "$
5	$(0, \varphi_2^{(2)})$		$0 < \mu_1 < 1$	"	$\phi_1 = -\rho g(l_1 + l_2) + c(l_1 + l_2 \mu_1)$	$\psi_1 = "$
6	$(0, \varphi_2^{(3)})$		"	"	$\phi_1 = "$	$\psi_1 = "$
7	$(0, \varphi_2^{(4)})$		$-1 < \mu_1 < 0$	"	$\phi_1 = "$	$\psi_1 = "$
8	$(0, \varphi_2^{(4)})$		"	"	$\phi_1 = "$	$\psi_1 = "$
9	$(\pi, \varphi_2^{(5)})$		$\mu_2 < 1$	no	$\phi_1 = -\rho g(l_1 + l_2) + c(-l_1 + l_2 \mu_2)$	$\psi_1 = "$
10	$(\pi, \varphi_2^{(6)})$		"	"	$\phi_1 = "$	$\psi_1 = "$
11	$(\varphi_1^{(2)}, 0)$		$0 < \lambda_1 < 1$	no	$\phi_1 = -\rho g(l_1 + l_2) + c(l_1 \lambda_1 + l_2)$	$\psi_1 = "$
12	$(\varphi_1^{(3)}, 0)$		"	"	$\phi_2 = "$	$\psi_1 = "$
13	$(\varphi_1^{(4)}, 0)$		$-1 < \lambda_1 < 0$	no	$\phi_1 = "$	$\psi_1 = "$
14	$(\varphi_1^{(4)}, 0)$		"	"	$\phi_1 = "$	$\psi_1 = "$
15	$(\varphi_1^{(2)}, \pi)$		$\lambda_2 < 1$	no	$\phi_1 = -\rho g(l_1 + l_2) + c(l_1 \lambda_2 - l_2)$	$\psi_1 = "$
16	$(\varphi_1^{(3)}, \pi)$		"	"	$\phi_1 = "$	$\psi_1 = "$

3) Dinamica



Scriviamo le eq. di Lagrange (EL). A tale scopo, calcoliamo l'energia cinetica K del modello.

$$K = K^{(1)} + K^{(2)}$$

$$K^{(1)} = \frac{1}{2} J_{Oz} \dot{\varphi}_1^2$$

$$J_{Oz} = \frac{1}{3} m_1 l_1^2 = \frac{1}{3} \rho l_1^3$$

$$K^{(2)} = \frac{1}{2} m_2 \vec{v}_{G_2}^2 + \frac{1}{2} J_{G_2z} \dot{\varphi}_2^2$$

$$m_2 = \rho l_2, \quad J_{G_2z} = \frac{1}{12} m_2 l_2^2 = \frac{\rho l_2^3}{12}$$

$$(19.1) \vec{v}_{G_2} = \vec{x}_{G_2}^{(1,3)} = \left(l_1 \sin \varphi_1 \dot{\varphi}_1 + \frac{l_2}{2} \sin \varphi_2 \dot{\varphi}_2 \right) \vec{e}_1 + \left(l_1 \cos \varphi_1 \dot{\varphi}_1 + \frac{l_2}{2} \cos \varphi_2 \dot{\varphi}_2 \right) \vec{e}_2$$

$$\begin{aligned} \vec{v}_{G_2}^2 &= \left(l_1 \sin \varphi_1 \dot{\varphi}_1 + \frac{l_2}{2} \sin \varphi_2 \dot{\varphi}_2 \right)^2 + \left(l_1 \cos \varphi_1 \dot{\varphi}_1 + \frac{l_2}{2} \cos \varphi_2 \dot{\varphi}_2 \right)^2 \\ &= l_1^2 \sin^2 \varphi_1 \dot{\varphi}_1^2 + l_2^2 \sin^2 \varphi_2 \dot{\varphi}_2^2 + l_1 l_2 \sin \varphi_1 \sin \varphi_2 \dot{\varphi}_1 \dot{\varphi}_2 + \\ &\quad + l_1^2 \cos^2 \varphi_1 \dot{\varphi}_1^2 + \frac{l_2^2}{4} \cos^2 \varphi_2 \dot{\varphi}_2^2 + l_1 l_2 \cos \varphi_1 \cos \varphi_2 \dot{\varphi}_1 \dot{\varphi}_2 \\ &= l_1^2 \dot{\varphi}_1^2 + \frac{l_2^2}{4} \dot{\varphi}_2^2 + l_1 l_2 \dot{\varphi}_1 \dot{\varphi}_2 \cos(\varphi_2 - \varphi_1) \end{aligned}$$

Dunque,

$$\begin{aligned} K^{(2)} &= \frac{1}{2} \rho l_2 \left(l_1^2 \dot{\varphi}_1^2 + \frac{l_2^2}{4} \dot{\varphi}_2^2 + l_1 l_2 \cos(\varphi_2 - \varphi_1) \dot{\varphi}_1 \dot{\varphi}_2 \right) + \frac{1}{24} \rho l_2^3 \dot{\varphi}_2^2 \\ &= \frac{1}{2} \rho l_2 \left(l_1^2 \dot{\varphi}_1^2 + \frac{l_2^2}{3} \dot{\varphi}_2^2 + l_1 l_2 \cos(\varphi_2 - \varphi_1) \dot{\varphi}_1 \dot{\varphi}_2 \right) \end{aligned}$$

Allora,

$$K = \frac{1}{2} \left[\rho l_1^2 \left(\frac{l_1}{3} + l_2 \right) \dot{\varphi}_1^2 + \frac{1}{3} \rho l_2^3 \dot{\varphi}_2^2 + \rho l_1 l_2 \cos(\varphi_2 - \varphi_1) \dot{\varphi}_1 \dot{\varphi}_2 \right]$$

Equazioni di Lagrange non conservative

$$\frac{\partial K}{\partial \dot{\varphi}_1} = \rho l_1^2 \left(\frac{l_1 + l_2}{3} \right) \dot{\varphi}_1 + \frac{1}{2} \rho l_1 l_2 \cos(\varphi_2 - \varphi_1) \dot{\varphi}_2$$

$$\frac{\partial K}{\partial \varphi_1} = \frac{1}{2} \rho l_1 l_2 \sin(\varphi_2 - \varphi_1) \dot{\varphi}_1 \dot{\varphi}_2$$

$$\frac{d}{dt} \left(\frac{\partial K}{\partial \dot{\varphi}_1} \right) = \rho l_1^2 \left(\frac{l_1 + l_2}{3} \right) \ddot{\varphi}_1 + \frac{1}{2} \rho l_1 l_2 \left[\cos(\varphi_2 - \varphi_1) \ddot{\varphi}_2 - \sin(\varphi_2 - \varphi_1) (\dot{\varphi}_2 - \dot{\varphi}_1) \dot{\varphi}_1 \right]$$

Quindi,

$$\begin{aligned} \text{IEL: } & \rho l_1^2 \left(\frac{l_1 + l_2}{3} \right) \ddot{\varphi}_1 + \frac{1}{2} \rho l_1 l_2 \left[\cos(\varphi_2 - \varphi_1) \ddot{\varphi}_2 - \sin(\varphi_2 - \varphi_1) \dot{\varphi}_2^2 + \sin(\varphi_2 - \varphi_1) \dot{\varphi}_1 \dot{\varphi}_2 + \right. \\ & \left. - \frac{1}{2} \rho l_1 l_2 \sin(\varphi_2 - \varphi_1) \dot{\varphi}_1 \dot{\varphi}_2 \right] = Q_{\varphi_1} \end{aligned}$$

Tenuto conto delle (2.2a), si trova:

$$\begin{aligned} \text{IEL: } & \rho l_1^2 \left(\frac{l_1 + l_2}{3} \right) \ddot{\varphi}_1 + \frac{1}{2} \rho l_1 l_2 \left[\cos(\varphi_2 - \varphi_1) \ddot{\varphi}_2 - \sin(\varphi_2 - \varphi_1) \dot{\varphi}_2^2 \right] = \\ & = -\rho g l_1 \left(\frac{l_1 + l_2}{2} \right) \sin \varphi_1 + c l_1 \sin \varphi_1 (l_1 \cos \varphi_1 + l_2 \cos \varphi_2) \end{aligned}$$

Inoltre,

$$\frac{\partial K}{\partial \dot{\varphi}_2} = \frac{1}{3} \rho l_2^3 \dot{\varphi}_2 + \frac{1}{2} \rho l_1 l_2 \cos(\varphi_2 - \varphi_1) \dot{\varphi}_1$$

$$\frac{\partial K}{\partial \varphi_2} = -\frac{1}{2} \rho l_1 l_2 \sin(\varphi_2 - \varphi_1) \dot{\varphi}_1 \dot{\varphi}_2$$

$$\frac{d}{dt} \left(\frac{\partial K}{\partial \dot{\varphi}_2} \right) = \frac{1}{3} \rho l_2^3 \ddot{\varphi}_2 + \frac{1}{2} \rho l_1 l_2 \left[\cos(\varphi_2 - \varphi_1) \ddot{\varphi}_1 - \sin(\varphi_2 - \varphi_1) (\dot{\varphi}_2 - \dot{\varphi}_1) \dot{\varphi}_1 \right]$$

Dunque,

21

$$\begin{aligned} \Pi_{EL}: & \frac{1}{3} \rho l_2^3 \ddot{\varphi}_2 + \frac{1}{2} \rho l_1 l_2^2 \left[\cos(\varphi_2 - \varphi_1) \ddot{\varphi}_1 - \sin(\varphi_2 - \varphi_1) \dot{\varphi}_1 \dot{\varphi}_2 + \sin(\varphi_2 - \varphi_1) \dot{\varphi}_1^2 \right] + \\ & + \frac{1}{2} \rho l_1 l_2^2 \sin(\varphi_2 - \varphi_1) \dot{\varphi}_1 \dot{\varphi}_2 = Q_{\varphi_2} \end{aligned}$$

Tenendo conto delle (2.24) si trova:

$$\begin{aligned} \Pi_{EL}: & \frac{1}{3} \rho l_2^3 \ddot{\varphi}_2 + \frac{1}{2} \rho l_1 l_2^2 \left[\cos(\varphi_2 - \varphi_1) \ddot{\varphi}_1 + \sin(\varphi_2 - \varphi_1) \dot{\varphi}_1^2 \right] = \\ & = -\rho g \frac{l_2^2}{2} \sin \varphi_2 + c l_2 \sin \varphi_2 (l_1 \cos \varphi_1 + l_2 \cos \varphi_2) \end{aligned}$$

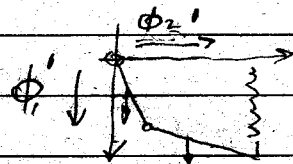
4) Il sistema è conservativo, i vincoli sono lisci e indipendenti dal tempo, quindi l'energia meccanica è un integrale primo di moto:

$$\begin{aligned} E = K + V = & \frac{1}{2} \left[\rho l_1^2 \left(\frac{l_1 + l_2}{3} \right) \dot{\varphi}_1^2 + \frac{1}{3} \rho l_2^3 \dot{\varphi}_2^2 + \rho l_1 l_2 \cos(\varphi_2 - \varphi_1) \dot{\varphi}_1 \dot{\varphi}_2 + \right. \\ & \left. - \rho g l_1 \left(\frac{l_1 + l_2}{2} \right) \cos \varphi_1 - \rho g \frac{l_2^2}{2} \cos \varphi_2 + \frac{1}{c} (l_1 \cos \varphi_1 + l_2 \cos \varphi_2) \right] \end{aligned}$$

La costante dell'energia è:

$$E_{t=0} = V(\varphi_1, \varphi_2) \Big|_{t=0} = V\left(\frac{\pi}{2}, \frac{\pi}{2}\right) = 0$$

6) Reazioni dinamiche in O



22

La I ECD applicata a tutto il modello si scrive

$$\vec{P}^{\text{est}} = m_1 \vec{x}_{G_1}'' + m_2 \vec{x}_{G_2}''$$

Quindi, proiettando lungo gli assi, si trova:

$$(22.1) \quad \phi_2' = f (l_1 \vec{x}_{G_1}'' + l_2 \vec{x}_{G_2}'') \cdot \vec{e}_2$$

$$(22.2) \quad \phi_1' + f g (l_1 + l_2) - c (l_1 \cos \phi_1 + l_2 \cos \phi_2) = f (l_1 \vec{x}_{G_1}'' + l_2 \vec{x}_{G_2}'') \cdot \vec{e}_1$$

Tenendo conto delle (19.2) si ha:

$$\vec{x}_{G_1} = \frac{l_1}{2} (-\sin \phi_1 \dot{\phi}_1 \vec{e}_1 + \cos \phi_1 \dot{\phi}_1 \vec{e}_2)$$

$$\vec{x}_{G_1}'' = -\frac{l_1}{2} \left[(-\sin \phi_1 \ddot{\phi}_1 - \cos \phi_1 \dot{\phi}_1^2) \vec{e}_1 + (\cos \phi_1 \ddot{\phi}_1 - \sin \phi_1 \dot{\phi}_1^2) \vec{e}_2 \right]$$

Inoltre, dalla (19.1) segue che

$$\vec{x}_{G_2} = \vec{V}_{G_2} = - \left[l_1 (\sin \phi_1 \ddot{\phi}_1 + \cos \phi_1 \dot{\phi}_1^2) + \frac{l_2}{2} (\sin \phi_2 \ddot{\phi}_2 + \cos \phi_2 \dot{\phi}_2^2) \right] \vec{e}_1 + \left[l_1 (\cos \phi_1 \ddot{\phi}_1 - \sin \phi_1 \dot{\phi}_1^2) + \frac{l_2}{2} (\cos \phi_2 \ddot{\phi}_2 - \sin \phi_2 \dot{\phi}_2^2) \right] \vec{e}_2$$

Dunque,

$$\phi_2' = f \left[\left(\frac{l_1^2}{2} + l_1 l_2 \right) (\cos \phi_1 \ddot{\phi}_1 - \sin \phi_1 \dot{\phi}_1^2) + \frac{l_2^2}{2} (\cos \phi_2 \ddot{\phi}_2 - \sin \phi_2 \dot{\phi}_2^2) \right]$$

$$\phi_1' = -f g (l_1 + l_2) + c (l_1 \cos \phi_1 + l_2 \cos \phi_2) +$$

$$+ f \left[\left(\frac{l_1^2}{2} + l_1 l_2 \right) (\sin \phi_1 \ddot{\phi}_1 + \cos \phi_1 \dot{\phi}_1^2) + l_1 l_2 (\sin \phi_2 \ddot{\phi}_2 + \cos \phi_2 \dot{\phi}_2^2) \right]$$